

# Supplementary Materials: Rb<sub>2</sub>Na(No<sub>3</sub>)<sub>3</sub>: A Congruently Melting UV-NLO Crystal with a Very Strong Second-Harmonic Generation Response

Guohong Zou <sup>1</sup>, Chensheng Lin <sup>2</sup>, Hyung Gu Kim <sup>1</sup>, Hongil Jo <sup>1</sup> and Kang Min Ok <sup>1,\*</sup>

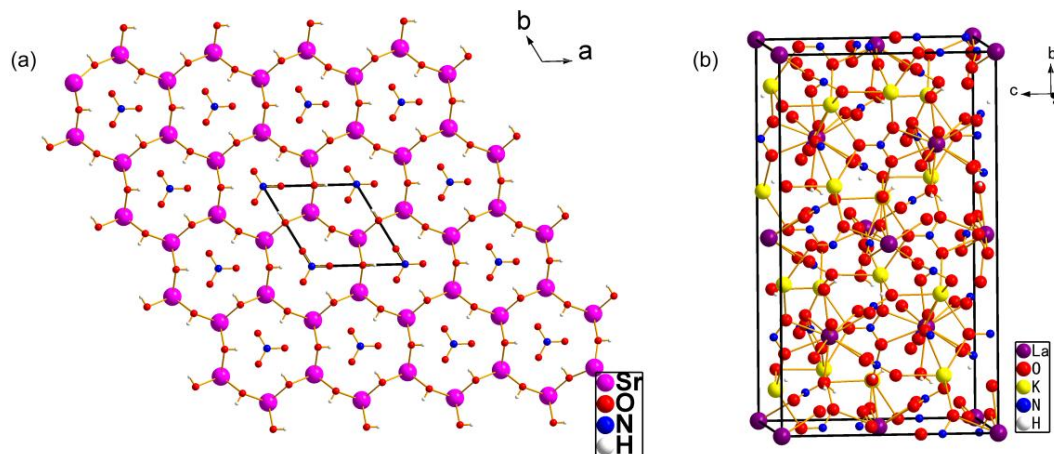
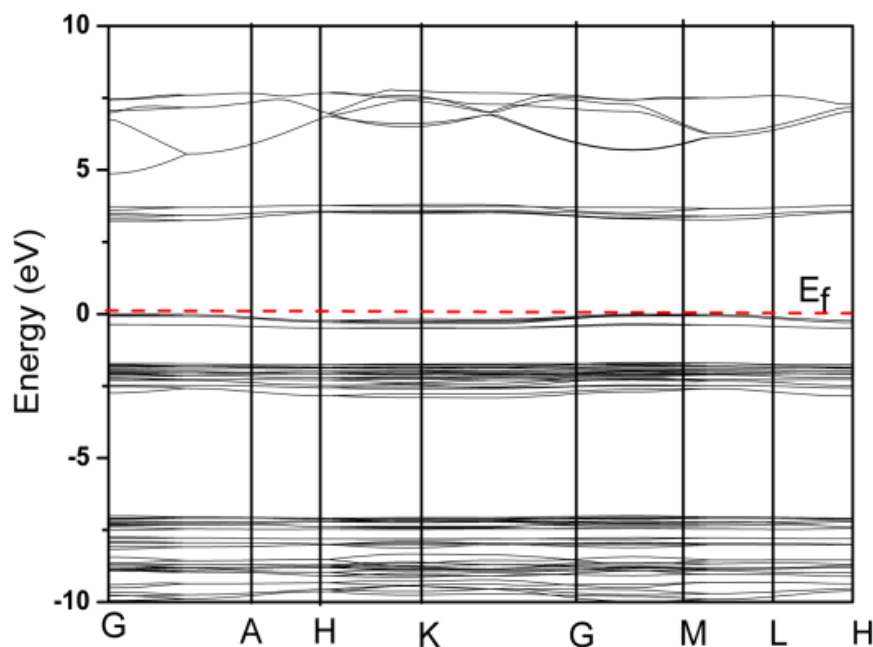
**Table S1.** Selected Bond lengths (Å) and angles (deg) for Rb<sub>2</sub>Na(No<sub>3</sub>)<sub>3</sub>.

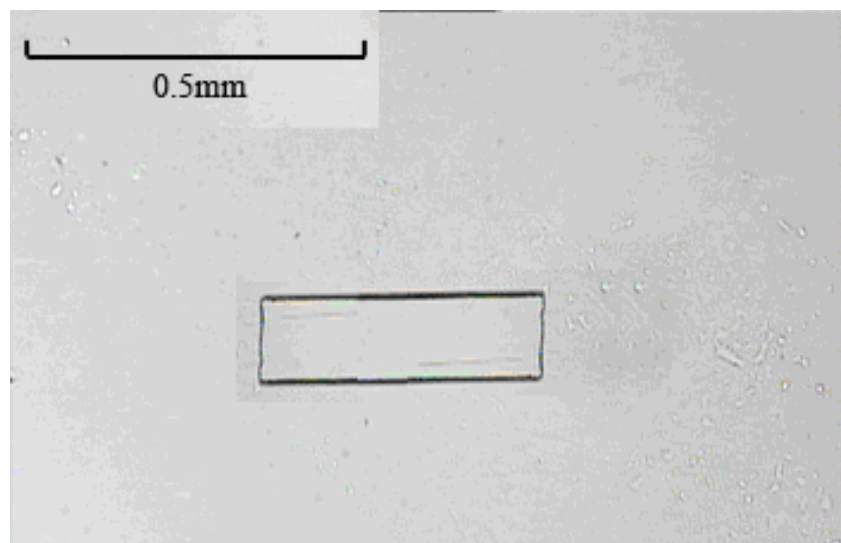
Rb1–O1	2.953 (3)	Na1–O6 <sup>xiii</sup>	2.696 (6)
Rb1–O1 <sup>i</sup>	2.953 (3)	Na1–N2 <sup>xii</sup>	2.978 (3)
Rb1–O2 <sup>ii</sup>	2.958 (5)	Na1–N2 <sup>iv</sup>	2.978 (3)
Rb1–O2 <sup>iii</sup>	2.958 (5)	Na1–Rb1 <sup>xiv</sup>	3.928 (2)
Rb1–O4 <sup>iv</sup>	2.965 (5)	N1–O2	1.252 (6)
Rb1–O3	3.145 (4)	N1–O2 <sup>xiii</sup>	1.252 (6)
Rb1–O3 <sup>v</sup>	3.145 (4)	N1–O1	1.258 (7)
Rb1–O6	3.215 (5)	N1–Rb1 <sup>xiv</sup>	3.552 (4)
Rb1–O6 <sup>v</sup>	3.215 (5)	N2–O3 <sup>v</sup>	1.245 (5)
Rb1–O2	3.282 (5)	N2–O3	1.245 (5)
Rb1–O2 <sup>v</sup>	3.282 (5)	N2–O4	1.255 (8)
Rb1–N2	3.363 (6)	N2–Na1 <sup>ii</sup>	2.978 (3)
Rb2–O4 <sup>vi</sup>	2.980 (5)	N2–Na1 <sup>xv</sup>	2.978 (3)
Rb2–O2	2.992 (5)	N3–O6 <sup>xiii</sup>	1.238 (6)
Rb2–O2 <sup>v</sup>	2.992 (5)	N3–O6	1.238 (6)
Rb2–O5 <sup>vii</sup>	3.007 (3)	N3–O5 <sup>xvi</sup>	1.244 (8)
Na1–O5	2.337 (6)	O4–Rb2 <sup>xvii</sup>	2.980 (5)
Na1–O1	2.337 (6)	O5–N3 <sup>xviii</sup>	1.244 (8)
Na1–O3 <sup>xi</sup>	2.528 (4)	O5–Rb2 <sup>xix</sup>	3.007 (3)
Na1–O3 <sup>iv</sup>	2.528 (4)	O5–Rb2 <sup>xx</sup>	3.007 (3)
Na1–O4 <sup>xii</sup>	2.6585 (12)	O6–Rb2 <sup>xix</sup>	3.236 (5)
Na1–O4 <sup>iv</sup>	2.6585 (12)	O6–Rb2 <sup>ii</sup>	3.360 (5)
Na1–O6	2.696 (6)	-	-
O1–Rb1–O1 <sup>i</sup>	128.2 (2)	O5–Na1–O4 <sup>iv</sup>	89.32 (13)
O1–Rb1–O2 <sup>ii</sup>	147.25 (15)	O1–Na1–O4 <sup>iv</sup>	90.76 (13)
O1 <sup>i</sup> –Rb1–O2 <sup>ii</sup>	84.29 (15)	O3 <sup>xi</sup> –Na1–O4 <sup>iv</sup>	126.71 (18)
O1–Rb1–O2 <sup>iii</sup>	84.29 (15)	O3 <sup>iv</sup> –Na1–O4 <sup>iv</sup>	49.32 (14)
O1 <sup>i</sup> –Rb1–O2 <sup>iii</sup>	147.25 (15)	O4 <sup>xii</sup> –Na1–O4 <sup>iv</sup>	175.8 (3)
O2 <sup>ii</sup> –Rb1–O2 <sup>iii</sup>	63.0 (2)	O5–Na1–O6	89.55 (18)
O1–Rb1–O4 <sup>iv</sup>	74.04 (11)	O1–Na1–O6	88.29 (17)
O1 <sup>i</sup> –Rb1–O4 <sup>iv</sup>	74.04 (11)	O3 <sup>xi</sup> –Na1–O6	164.77 (16)
O2 <sup>ii</sup> –Rb1–O4 <sup>iv</sup>	126.29 (12)	O3 <sup>iv</sup> –Na1–O6	117.80 (14)
O2 <sup>iii</sup> –Rb1–O4 <sup>iv</sup>	126.29 (12)	O4 <sup>xii</sup> –Na1–O6	115.46 (18)
O1–Rb1–O3	111.04 (13)	O4 <sup>iv</sup> –Na1–O6	68.48 (16)
O1 <sup>i</sup> –Rb1–O3	75.14 (13)	O5–Na1–O6 <sup>xiii</sup>	89.55 (18)
O2 <sup>ii</sup> –Rb1–O3	69.72 (12)	O1–Na1–O6 <sup>xiii</sup>	88.29 (17)
O2 <sup>iii</sup> –Rb1–O3	90.63 (12)	O3 <sup>xi</sup> –Na1–O6 <sup>xiii</sup>	117.80 (14)
O4 <sup>iv</sup> –Rb1–O3	142.94 (12)	O3 <sup>iv</sup> –Na1–O6 <sup>xiii</sup>	164.77 (16)
O1–Rb1–O3 <sup>v</sup>	75.14 (13)	O4 <sup>xii</sup> –Na1–O6 <sup>xiii</sup>	68.48 (16)
O1 <sup>i</sup> –Rb1–O3 <sup>v</sup>	111.04 (13)	O4 <sup>iv</sup> –Na1–O6 <sup>xiii</sup>	115.46 (18)
O2 <sup>ii</sup> –Rb1–O3 <sup>v</sup>	90.63 (12)	O6–Na1–O6 <sup>xiii</sup>	47.0 (2)

**Table S1.** Cont.

O2 <sup>iii</sup> -Rb1-O3 <sup>v</sup>	69.72 (12)	O5-Na1-N2 <sup>xii</sup>	89.68 (14)
O4 <sup>iv</sup> -Rb1-O3 <sup>v</sup>	142.94 (11)	O1-Na1-N2 <sup>xii</sup>	91.38 (13)
O3-Rb1-O3 <sup>v</sup>	40.01 (15)	O3 <sup>xi</sup> -Na1-N2 <sup>xii</sup>	24.43 (13)
O1-Rb1-O6	69.34 (14)	O3 <sup>iv</sup> -Na1-N2 <sup>xii</sup>	101.83 (17)

Symmetry codes: (i)  $x - 1, y, z$ ; (ii)  $-x + 1, -y, z - 1/2$ ; (iii)  $x, -y, z - 1/2$ ; (iv)  $-x + 1, -y, z + 1/2$ ; (v)  $-x + 1, y, z$ ; (vi)  $-x + 1, -y - 1, z + 1/2$ ; (vii)  $x, y - 1, z$ ; (viii)  $x - 1, y - 1, z$ ; (ix)  $-x + 1, y - 1, z$ ; (x)  $x, -y, z + 1/2$ ; (xi)  $x + 1, -y, z + 1/2$ ; (xii)  $-x + 2, -y, z + 1/2$ ; (xiii)  $-x + 2, y, z$ ; (xiv)  $x + 1, y, z$ ; (xv)  $-x + 2, -y, z - 1/2$ ; (xvi)  $-x + 2, -y + 1, z - 1/2$ ; (xvii)  $-x + 1, -y - 1, z - 1/2$ ; (xviii)  $-x + 2, -y + 1, z + 1/2$ ; (xix)  $x, y + 1, z$ ; (xx)  $x + 1, y + 1, z$ .

**Figure S1.** Crystal structure of  $\text{Sr}_2(\text{OH})_3\text{NO}_3$  (a) and  $\text{K}_2\text{La}(\text{NO}_3)_5 \cdot 2\text{H}_2\text{O}$  (b).**Figure S2.** Calculated band structure of  $\text{Rb}_2\text{Na}(\text{NO}_3)_3$  (the Fermi level is set at 0 eV).



**Figure S3.** Photograph of Rb<sub>2</sub>Na(No<sub>3</sub>)<sub>3</sub> crystal.

© 2016 by the authors; licensee MDPI, Basel, Switzerland. This article is an open access article distributed under the terms and conditions of the Creative Commons by Attribution (CC-BY) license (<http://creativecommons.org/licenses/by/4.0/>).

